

日本大学理工学部 正会員 山本忠幸

日本大学理工学部 正会員 小川 元

1. はじめに

浮体構造物を設計する場合の実験的検証は現在まだ十分とはいえない。従来、水中に固定された構造物に作用する波力は、一般に Saintlou, Minikin, Morison らによって表されており、浮体構造物に作用する水平波力については明確な設計基準がない。そこで本研究は浮体形状として比較的簡単な長方形断面浮体（以下浮体と呼ぶ）についての実験的研究を行なった。図-1 に示すように係留長方形浮体群が、図-2 の記号で示すように、静水面から波峰までの高さ H_i は $\alpha H_i + \alpha^2 H_i^2 \pi/L \coth 2\pi d/L$ のようである。ここで $\alpha = (1+kd)/2$ 。次に静水面から波峰までの高さ h_i は $h_i = \alpha H_i + \alpha^2 H_i^2 \pi/L \coth 2\pi d/L$ となる。ここで $h_i = B H_i$ とおくと B は式(1)のように書くことができる。

2. 実験概要

i) 解析 トロコイド複波理論により、静水面から波の動揺の甲板面までの水深 d は Miche-Rundgren の算定式から $d = \pi/L \cdot \alpha^2 H_i^2 \coth 2\pi d/L$ のようである。ここで $\alpha = (1+kd)/2$ 。次に静水面から波峰までの高さ h_i は $h_i = \alpha H_i + \alpha^2 H_i^2 \pi/L \coth 2\pi d/L$ となる。ここで $h_i = B H_i$ とおくと B は式(1)のように書くことができる。

$$B = \alpha + \alpha^2 H_i / L \coth 2\pi d / L \quad \dots \dots \dots (1)$$

B と H_i/L の関係を図示すると図-3 となる。今、図-2(a) の Saintlou の浪圧図より $P_1 = P_2$ とするとき単位長さ当たりの波力 P は式(2) のように書くことができる。

$$\frac{2P}{w_0 H_i^2} = \alpha \cdot B \cdot T \left\{ \frac{1}{\alpha} \left(\frac{h}{H_i} \right) + \frac{1}{\coth 2\pi d/L} \right\} \quad \dots \dots \dots (2)$$

ここで $T = (\beta H_i + 2d)/\beta H_i + 1$ 、この場合の T と H_i/L の関係を図-4 に示す。次に図-2(b) の静水圧図より、浮体表面の水面高さ h_i は $h_i = (\beta - 2\alpha + 1) H_i$ となり、浮体前後の水位差によつて波力 P は式(3) のようになる。

$$\frac{2P}{w_0 H_i^2} = (2\alpha - 1) \left(\frac{2d}{H_i} - 2\alpha + 2\beta + 1 \right) \quad \dots \dots \dots (3)$$

式(2), (3)は模型条件 No. 1, 2 において、特に浮体の前後運動が抑制されていない場合に実験値と比較できることを考える。次に模型条件 No. 3, 4 において、浮体の前後運動が自由な場合には浮体の固有振動周期が波動の周期と一致する場合の波力とすることにする。しかし本実験では、浮体の前後運動が大きくなる、水平波力も強いと考えられる。そこで、波力が浮体前後運動水位差で与えられるときには最大波力は浮体の前面で波の山が、後面で波の谷がきた時に働くことになる。この場合、静水面上、近似的に三角形部分が波に浸る。その部分の体積の水の質量が水平波力に加算されるといふれば、波力 P は式(4)のようになる。

$$\frac{2P}{w_0 H_i^2} = \alpha \cdot B \cdot T \left\{ \frac{1}{2} \left(\frac{h}{H_i} \right) + \frac{1}{2 \times T} \left(\frac{h}{H_i} \right)^2 \right. \\ \left. + \frac{1}{\coth 2\pi d/L} \right\} \quad \dots \dots \dots (4)$$

ii) 模型実験 浮体は幅 50 cm × 高さ 20 cm × 長さ 30 cm で図-1 に示すように係留した。

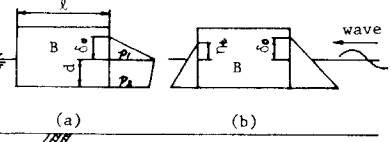
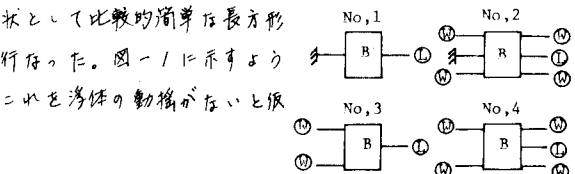
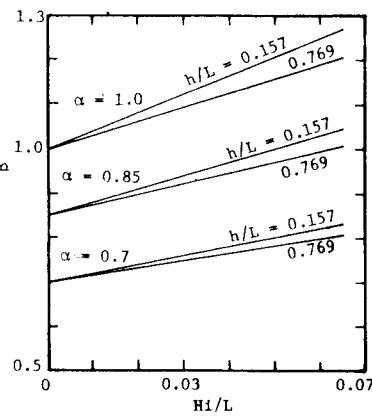
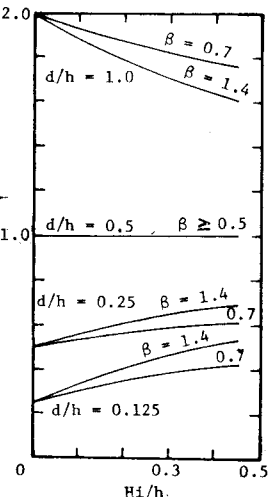


図-2 記号説明

図-3 $B - H_i/L$ 計算図図-4 $Y - H_i/h$ 計算図

No.1,2は浮体の後面に係留索によつて支ばれ、No.3,4は係留索がなく浮体の両側におもり(W)を吊りした。おもりは浮体の自重を防ぐとともに、ロードセル(L)側の係留索を弛ませるためにある。波力測定はロードセルによりペン書きオシロで記録し、比較的定常な15~25波の最大値を水平波力とした。実験波の諸元は入射波高(Hi)1.4~4.4 cm, 周期(T) 0.5, 0.65, 0.83, 1.27 sec, 吃水(d) 3.8 cm, 7.2 cm, 水深(h) 30 cmとした。

3. 実験結果と考察

i) $P/\omega_0 Hi^2$ と h/Hi 単位長さ当たりの波力 P の無次元量 $P/\omega_0 Hi^2$ と相対水深 h/Hi との関係を両対数グラフで示すと図-5,6となる。

図-5は、No.1,2のケースで式(2),(3)に $d/h = 0.127$, 反射率 $K_r = 0.7$ を代入した計算値と実験値とを比較したものである。この图によると、実験値は $K_r = 0.7$ の場合の計算値と大体並んでおり、つまり、浮体に受けける波力は $K_r = 0.7$ とした場合の式(2),(3)による波力と同じである。このケースでは、浮体の後面に係留索があり浮体の前駆動がない。そのため浮体の動揺がないと仮定した式(2),(3)の計算値と実験値が合うと考えられる。ただし浮体の上下動が観察された方が水平波力には上下動は影響はないであろう。この場合、浮体は吃水を一定に上下動していると考えられる。図-6は No.3,4 のケースで式(4)に $d/h = 0.24$, $K_r = 0.7$ を代入した場合と、式(2)に $d/h = 0.24$, $K_r = 1.0$ を代入した場合とにについて実験値と比較したものである。この图によると、実験値は波が全反射した時の波力の計算値よりも上回っている。これは浮体の後面に係留索がないため、浮体の前駆動が大きく、浮体の動揺による慣性力と浮体にかかる波力とが一致したためと考えられる。波力の波形記録を見ても、波力のゼロ区間が長く、零の弛み時間が長い。波形の山は失って瞬間に波力が働いたことが分かる。

ii) F/W と $\sigma\sqrt{L/g}$ 全波力 F(kg) を無次元化するためにはこれを浮体自重 W(kg) との比をとると F/W となる。ここで F/W に影響を与えると考えられる周期 T の無次元量は $\sigma\sqrt{L/g}$ ($= 2\pi/T\sqrt{L/g}$) となる。

3. オニギリ、 $d/h = 0.24$, $Hi/L = 0.0215$, 0.0332 について実験値を F/W と $\sigma\sqrt{L/g}$ の関係でグラフ化すると図-7である。この图より、No.1,2の場合、 $\sigma\sqrt{L/g} = 1.33$ で $F/W = 0.19$ と最大となり漸減的に変化し、No.3,4の場合 $\sigma\sqrt{L/g}$ が減少すると F/W が急激に増大している。これは、浮体の持つ固有振動周期が実験波の周期に比べ小さないので、No.3,4の場合、周期が増大すると波力が大きくなると考えられる。このように、No.1,2 と No.3,4 のケースにおいて F/W と $\sigma\sqrt{L/g}$ の相関性が認められた。

4.まとめ

以上により得られた結論をまとめると次のようになる。

- (1) 浮体の後面に係留索がある場合、波力の実験値は固定された浮体と仮定した式(2),(3)に $K_r = 0.7$ を代入した計算値と大差がない。(2) 浮体の後面に係留索がない前駆動が自由な場合、波の実験値は式(2),(3)の波が全反射する計算値を上回り、式(4)に $K_r = 0.7$ を代入した計算値は大体合っている。(3) No.1,2 と No.3,4 の場合の F/W と $\sigma\sqrt{L/g}$ の相関性が認められ図-7のようになる。

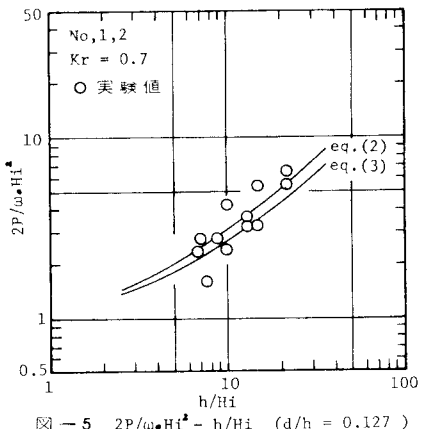


図-5 $2P/\omega_0 Hi^2 - h/Hi$ ($d/h = 0.127$)

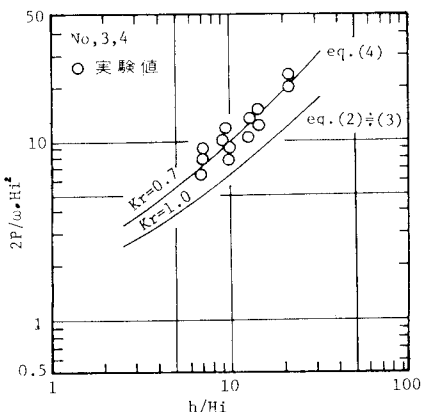


図-6 $2P/\omega_0 Hi^2 - h/Hi$ ($d/h = 0.24$)

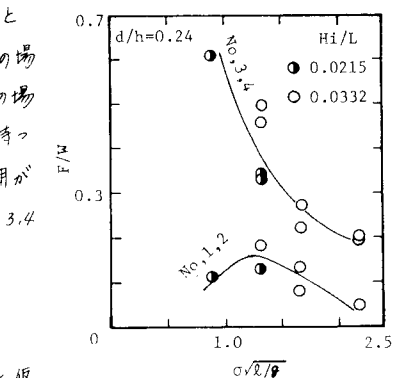


図-7 $F/W - \sigma\sqrt{L/g}$